

تحلیل ارتعاشات غیرخطی پوسته استوانه‌ای دو سرگیردار ساخته شده از مواد مرکب

ایوب انتظاری^۱، روح الله دهقانی فیروزآبادی^۲، محمدعلی کوچکزاده^۳

دانشکده مهندسی هواپیما، دانشگاه صنعتی شریف

تاریخ دریافت مقاله: ۱۳۸۹/۰۵/۱۶

تاریخ ارزیابی نهایی: ۱۳۹۰/۰۸/۱۸

چکیده

هدف از انجام این تحقیق، استخراج و حل معادلات غیرخطی حاکم بر ارتعاشات پوسته استوانه‌ای ساخته شده از مواد مرکب لایه‌ای با لایه‌چینی متعامد، با استفاده از اصل همیلتون (Hamilton's principle) و روش گالرکین است. کرنش‌ها از نوع غیرخطی ون کارمن (Von karman) بوده و شرایط مرزی دو سرگیردار، فرض شده است. بسط مودال پاسخ، به صورت مجموع چند مود در نظر گرفته شده است که با جای‌گذاری مستقیم این بسط در معادله غیرخطی حاکم بر مبنای کرنش‌های ون کارمن، و با استفاده از روش گالرکین، معادلات غیرخطی حاکم بر مختصات تعیین‌یافته هریک از مودها استخراج می‌شود. معادلات حاکم بدست آمده با استفاده از روش رانگ-کوتا مرتبه چهار حل می‌شود. با استفاده از روش حل ارائه شده، پاسخ ارتعاشی پوسته تحت بار دینامیکی مشخص، تحلیل شده و اثر پارامتری‌هایی چون نوع لایه‌چینی، تعداد موج‌ها و هنسه بر ارتعاشات پوسته مورد مطالعه قرار می‌گیرد. فرکانس‌هایی به دست آمده از روش حل ارائه شده در این تحقیق، با نتایج حاصل از نرم‌افزار اجزای محدود و نتایج دیگر محققین مقایسه و مطابقت داده شده است.

کلیدواژه:

ارتعاشات، پوسته ساخته شده از مواد مرکب، روش مودال، معادلات غیرخطی، گالرکین.

مقدمه

(CLT) برای تحلیل رفتار دینامیکی، به ویژه با دامنه تغییر شکل بزرگ، دارای دقت کافی نیست. هنگامی که تغییر شکل پوسته در راستای شعاع مرتبه‌ای از ضخامت باشد، اثرات غیرخطی آشکار شده، و منجر به پاسخ‌های پیچیده می‌شود. این اثرات شامل وابستگی فرکانس‌های متغیر با دامنه است. بنابراین باید این رفتار دینامیکی توسط تئوری غیرخطی پوسته‌ها، تحلیل شود. مطالعات انجام شده در زمینه ارتعاشات پوسته‌های استوانه‌ای دایروی بسیار گستردۀ است. در بیشتر مطالعات انجام شده، پوسته‌ها با شرایط مرزی تکیه‌گاه ساده فرض شده، و مطالعات زیادی روی شرایط مرزی مختلف به خصوص دوسرگیردار و اثر آن روی پاسخ غیرخطی پوسته‌های استوانه‌ای صورت نگرفته است. در ادامه به اصلی‌ترین مطالعاتی که در این زمینه انجام شده اشاره شده است.

ماتسوزوکی و کوبایاشی [۱] ارتعاشات دامنه بزرگ در پوسته‌های استوانه‌ای دایروی با تکیه‌گاه دوسرگیر را به طور تئوری و تجربی مورد مطالعه قرار دادند. تحلیل آن‌ها روی تئوری پوسته‌های غیرخطی دونل (Donnell) استوار بود و از یک بسط مود ساده با

پوسته‌های استوانه‌ای دایروی در طراحی مهندسی کاربرد گسترده دارد. کاربرد آن‌ها به ویژه در سازه‌های هواپیمایی، آشکار است. در ساخت بخش‌های اصلی هواپیماهای مoshک‌ها، راکت‌ها و غیره از این نوع سازه‌ها کمک گرفته می‌شود. دلایل به کارگیری سازه‌های پوسته استوانه‌ای عموماً مربوط به مزیت اصلی آن‌ها در هندسه‌شنan است. به ازای حجم مشخص، پوسته‌های استوانه‌ای دایروی دارای حداقل مساحت سطح است. این سازه‌ها ویژگی‌های مطلوبی مانند سطح خیس کم (حداقل پسا) و انتقال حرارت پایین را دارا است. برای داشتن حداقل وزن، به کارگیری مواد با نسبت استحکام به وزن بالا ضروری است. مواد مرکب قادر به تأمین چنین ویژگی هستند. از دیگر ویژگی‌های مواد مرکب می‌توان به سفتی ویژه بالا و خواص ضد خوردگی آن اشاره کرد.

در بسیاری از کاربردهای عملی، استفاده از تئوری خطی کلاسیک

۱. کارشناس ارشد سازه‌های هوایی

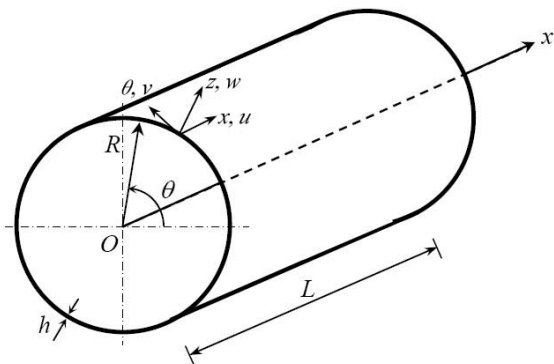
۲. استادیار

۳. دانشیار، (نویسنده مخاطب)، mak@sharif.edu

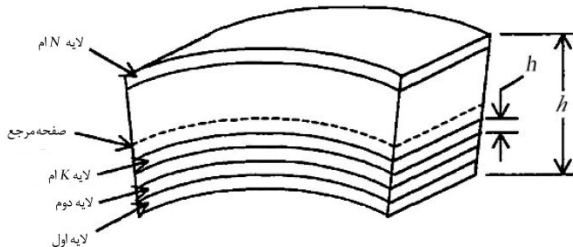
چند مود در نظر گرفته شده است که با جایگذاری در رابطه اصل همیلتون به همراه استفاده از روش گالرکین، دستگاه معادله توصیف کننده ارتعاشات غیرخطی سامانه به طور مستقیم به دست می‌آید. با حل این دستگاه به روش رانگ-کوتا مرتبه چهار، می‌توان رفتار دینامیکی سامانه تحت بارگذاری مشخص را بررسی کرد.

معادلات حاکم

شکل ۱ یک پوسته استوانه‌ای با شعاع متوسط R ، طول L و ضخامت h را نشان می‌دهد. در شکل ۲ چیدمان لایه‌های پوسته ساخته شده از ماده مرکب، نمایش داده شده است. u و w مولفه‌های تغییر مکان در جهت‌های محوری (x ، محیطی (θ) و شعاعی (z) است.



شکل ۱. هندسه پوسته استوانه‌ای و مختصات مرجع



شکل ۲. چیدمان لایه‌های پوسته استوانه‌ای ساخته شده از مواد مرکب

بر پایه فرضیات غیرخطی هندسی ون کارمن، جابه‌جایی‌های صفحه‌ای u و w بسیار کوچک بوده و در روابط کرنش-جابه‌جایی فقط آن دسته از عبارت‌هایی که به w (جابه‌جایی در جهت عرضی) وابسته‌اند، باقی می‌ماند و از دیگر عبارت‌های غیرخطی صرف نظر می‌شود. چرخش‌ها نسبت به صفحه مرجع پوسته تغییر شکل نیافته، ناچیز بوده و چرخش‌ها حول بردارهای عمود بر صفحه مرجع قابل چشم‌پوشی است [۱۰ و ۱۱]. بنابر فرضیات اخیر روابط کرنش-جابه‌جایی ون کارمن در صفحه مرجع (میانی) برای پوسته استوانه‌ای دایروی به صورت زیر است [۱۲]:

دو درجه آزادی استفاده کردند. چیا [۲] ارتعاشات آزاد غیرخطی و کمانش صفحات استوانه‌ای دایروی لایه‌ای متقاضن و نامتقاضی با شرایط مرزی مختلف را بررسی کرد. یو و چیا [۳] با استفاده از تئوری پوسته دارای شعاع انحنای بزرگ و غیرخطی دونل، ارتعاشات آزاد و کمانش پوسته‌های استوانه‌ای لایه‌ای با لایه‌چینی متعادل غیرمتقاضن با شرایط مرزی گیردار و ساده را مورد مطالعه و بررسی قرار دادند. در این تحقیق میدان جابه‌جایی تنها در جهت عرضی با بسطی تشکیل شده از چند مود استفاده شده است. دستگاه معادلات غیرخطی حاکم تنها برای ارتعاشات آزاد به دست آمده و به روش تعادل هارمونیک (Harmonic balance) حل شده است. ارتعاشات دامنه بزرگ پوسته‌های استوانه‌ای دایروی دوسر در گیر عمودی که تا قسمتی از سطح‌های مختلف آن از آب پرشده، به طور تجربی توسط چیا [۴] مورد مطالعه قرار گرفت. آقای آبه و همکاران [۵] خصوصیات ارتعاش آزاد غیرخطی مودهای اول و دوم ارتعاشی پوسته‌های دارای شعاع انحنای بزرگ لایه‌ای بالبهای گیردار را بررسی کردند. آمایلی [۶] ارتعاشات با دامنه بزرگ (غیرخطی هندسی) پوسته‌های استوانه‌ای دایروی با شرایط مرزی مختلف که تحت تحریک هارمونیک شعاعی قرار دارد در دو حالت خالی و پر از سیال را مورد مطالعه قرار داد. کاراگیوزیس و همکاران [۷] ارتعاشات غیرخطی پوسته‌های استوانه‌ای دایروی خالی و پر از سیال، با شرایط دوسر گیردار تحت نیروی تحریک هارمونیک شعاعی را بررسی کردند. پلیکانو [۸] به بررسی ارتعاشات خطی و غیرخطی پوسته‌های استوانه‌ای دایروی تحت شرایط مرزی مختلف پرداخت. او از تئوری سندرز-کویتر بهره گرفت و میدان‌های جابه‌جایی را به صورت ترکیب سری‌های دوتایی توابع هارمونیک و چند جمله‌ای‌های چیزیف بسط داد. شاو و ما [۹] ارتعاشات پوسته‌های استوانه‌ای لایه‌ای با شرایط مرزی دلخواه را با استفاده از بسط سری فوریه مورد تحلیل قرار دادند. با توجه به آن‌چه گفته شد، شناخت رفتار دقیق دینامیکی پوسته‌های استوانه‌ای دوسر گیردار، استفاده از روش‌ها و تئوری‌های مختلف را ضروری می‌سازد.

در این تحقیق، ارتعاشات غیرخطی پوسته استوانه‌ای دایروی دوسر در گیر از جنس مواد مرکب لایه‌ای با لایه‌چینی متعادل، مورد تحلیل قرار گرفته است. با استفاده از توابع قابل استفاده متناظر در تیر و روش گالرکین، فرکانس‌های طبیعی و شکل مودهای ارتعاش آزاد خطی پوسته بدست می‌آید. بسط مودال پاسخ به صورت مجموع

ارتعاشات آزاد خطی
با جایگذاری معادلات (۱) و (۲) در معادلات (۴) تا (۶) و حذف عبارت‌های غیرخطی و نیروی عرضی q_z و نوشتن رابطه به فرم ماتریسی داریم:

$$\begin{bmatrix} L_{11} & L_{12} & L_{13} \\ L_{12} & L_{22} & L_{23} \\ L_{13} & L_{23} & L_{33} \end{bmatrix} \begin{bmatrix} u \\ v \\ w \end{bmatrix} = \begin{bmatrix} \rho h & 0 & 0 \\ 0 & \rho h & 0 \\ 0 & 0 & -\rho h \end{bmatrix} \begin{bmatrix} \ddot{u} \\ \ddot{v} \\ \ddot{w} \end{bmatrix} \quad (۷)$$

ها L_{ij} عملگرهای دیفرانسیلی هستند که رابطه آن‌ها در پیوست (الف) آمده است. شرایط مرزی (در $x=0$ و $x=L$) در حالتی که پوسته استوانه‌ای دایروی دوسرگیر باشد به صورت زیر است:

$$u=0, v=0, w=0, w_x=0 \quad (۸)$$

در ابتدا برای حل ارتعاشات آزاد خطی، میدان جابه‌جایی با فرض ارضا شدن کلیه شرایط مرزی به صورت زیر در نظر گرفته می‌شود:

$$\begin{aligned} u(x, \theta, t) &= \bar{u}(x, \theta) e^{i\omega t} \\ v(x, \theta, t) &= \bar{v}(x, \theta) e^{i\omega t} \\ w(x, \theta, t) &= \bar{w}(x, \theta) e^{i\omega t} \end{aligned} \quad (۹)$$

که در آن $\bar{u}(x, \theta)$ ، $\bar{v}(x, \theta)$ و $\bar{w}(x, \theta)$ به ترتیب شکل مودها در جهت محوری، محیطی و عرضی بوده و می‌تواند به صورت زیر فرض شود [۱۴]:

$$\begin{aligned} \bar{u}(x, \theta) &= U f_{11}(x, \theta) \\ \bar{v}(x, \theta) &= V f_{21}(x, \theta) \\ \bar{w}(x, \theta) &= W f_{31}(x, \theta) \end{aligned} \quad (۱۰)$$

در رابطه (۱۰)، U و V بردارهای ویژه و ضرایب نامعلومی است که دامنه مرتبط با شکل مود نظیر را تأمین می‌کند. $f_{ij}(x, \theta)$ ها توابعی است که افزون بر ارائه شکل مود قابل قبول، شرایط مرزی هندسی مسئله را نیز ارضاء می‌کند و به صورت زیر فرض می‌شود [۱۵].

$$\begin{aligned} f_{11}(x, \theta) &= \Phi_m(x) \cos(n\theta) \\ f_{21}(x, \theta) &= \Psi_m(x) \sin(n\theta) \\ f_{31}(x, \theta) &= \Psi_m(x) \cos(n\theta) \end{aligned} \quad (۱۱)$$

که در آن m و n به ترتیب تعداد نیم‌موج‌های طولی و تعداد موج‌های محیطی تشکیل شده در هر مود ($r=1, 2, 3, \dots, N$) و:

$$\begin{aligned} \Phi_m(x) &= -\sin \frac{\mu}{R} \left(\frac{L}{2} - x \right) + k \sinh \frac{\mu}{R} \left(\frac{L}{2} - x \right) \\ \Psi_m(x) &= \cos \frac{\mu}{R} \left(\frac{L}{2} - x \right) + k \cosh \frac{\mu}{R} \left(\frac{L}{2} - x \right) \end{aligned} \quad (۱۲)$$

برای m ‌های فرد و:

$$\begin{aligned} \Phi_m(x) &= \cos \frac{\mu}{R} \left(\frac{L}{2} - x \right) + k \cosh \frac{\mu}{R} \left(\frac{L}{2} - x \right) \\ \Psi_m(x) &= -\sin \frac{\mu}{R} \left(\frac{L}{2} - x \right) + k \sinh \frac{\mu}{R} \left(\frac{L}{2} - x \right) \end{aligned} \quad (۱۳)$$

$$\begin{aligned} \varepsilon_{x,0} &= \frac{\partial u}{\partial x} + \frac{1}{2} \left(\frac{\partial w}{\partial x} \right)^2 \\ \varepsilon_{\theta,0} &= \frac{1}{R} \left(\frac{\partial v}{\partial \theta} + w \right) + \frac{1}{2} \left(\frac{\partial w}{R \partial \theta} \right)^2 \\ \gamma_{x,\theta,0} &= \frac{\partial u}{R \partial \theta} + \frac{\partial v}{\partial x} + \frac{\partial w}{\partial x} \frac{\partial w}{R \partial \theta} \end{aligned} \quad (۱)$$

$$\kappa_x = -\frac{\partial^2 w}{\partial x^2}$$

$$\kappa_\theta = -\frac{\partial^2 w}{R^2 \partial \theta^2}$$

$$\kappa_{x\theta} = -2 \frac{\partial^2 w}{R \partial x \partial \theta}$$

روابط بین مولفه‌های کرنش سطح مرجع با منتجه‌های تنش در پوسته‌های ساخته شده از مواد مركب لايه‌ای با لايچيني متعماد، بر پایه تئوري کلاسيك لايه‌ها به صورت زير تعریف می‌شود [۱۳]:

$$\begin{bmatrix} N_x \\ N_\theta \\ N_{x\theta} \\ M_x \\ M_\theta \\ M_{x\theta} \end{bmatrix} = \begin{bmatrix} A_{11} & A_{12} & 0 & B_{11} & B_{12} & 0 \\ A_{12} & A_{22} & 0 & B_{12} & B_{22} & 0 \\ 0 & 0 & A_{66} & 0 & 0 & B_{66} \\ B_{11} & B_{12} & 0 & D_{11} & D_{12} & 0 \\ B_{12} & B_{22} & 0 & D_{12} & D_{22} & 0 \\ 0 & 0 & B_{66} & 0 & 0 & D_{66} \end{bmatrix} \begin{bmatrix} \varepsilon_{x,0} \\ \varepsilon_{\theta,0} \\ \gamma_{x,\theta,0} \\ \kappa_x \\ \kappa_\theta \\ \kappa_{x\theta} \end{bmatrix} \quad (۲)$$

که در آن، $M_{x\theta}$ ، N_x ، N_θ و M_θ منتجه‌های تنشی، D_{ij} و $B_{ij}A_{ij}$ به ترتیب سفتی محوری - محوری - خمی، سفتی خمی، بوده و از روابط زیر به دست می‌آید:

$$\begin{aligned} A_{ij} &= \sum_{k=1}^N \bar{Q}_{ij}^{(k)} (h_k - h_{k-1}), \\ B_{ij} &= \frac{1}{2} \sum_{k=1}^N \bar{Q}_{ij}^{(k)} (h_k^2 - h_{k-1}^2), \quad (i, j = 1, 2, 6) \\ D_{ij} &= \frac{1}{3} \sum_{k=1}^N \bar{Q}_{ij}^{(k)} (h_k^3 - h_{k-1}^3), \end{aligned} \quad (۳)$$

که در آن h ضخامت هر لايه و \bar{Q}_{ij} ماتریس سفتی کاهش یافته است. معادلات غیرخطی حرکت دونل، در عبارت‌های منتجه‌های تنشی با در نظر گرفتن عبارت‌های اینرسی صفحه‌ای به صورت زیر قابل ارائه است [۱۲]:

$$\begin{aligned} (۴) \quad N_{x,x} + \frac{1}{R} N_{x\theta,\theta} &= \rho h \frac{\partial^2 u}{\partial t^2} \\ N_{x\theta,x} + \frac{1}{R} N_{\theta,\theta} &= \rho h \frac{\partial^2 v}{\partial t^2} \end{aligned} \quad (۴)$$

$$\begin{aligned} -M_{x,xx} - \frac{2}{R} M_{x\theta,x\theta} - \frac{1}{R^2} M_{\theta,\theta\theta} + \frac{1}{R} N_\theta \\ -\frac{2}{R} N_{x\theta} w_{,\theta x} - N_x w_{,xx} - \frac{1}{R^2} N_\theta w_{,\theta\theta} \\ + \rho h \frac{\partial^2 w}{\partial t^2} = q_z \end{aligned} \quad (۵)$$

که در آن ρ چگالی، و q_z نیروی اعمال شده در جهت شعاعی است.

مسئله و توابع غیرخطی زمانی است. زیرنویس ($r=1, 2, 3, \dots, N$) نشان‌دهنده شماره مودار تعاضی است.

معادلات غیرخطی حاکم بر ارتعاشات

انرژی کرنش (U_s), انرژی جنبشی (T_s), و کار انجام شده توسط

نیروهای خارجی (W_s) روی پوسته به ترتیب از روابط (۱۹)، (۲۰) و (۲۱) محاسبه می‌شود [۱۱]:

$$U_s = \frac{1}{2} \int_0^L \int_0^{2\pi} [N_x \varepsilon_{x,0} + N_\theta \varepsilon_{\theta,0} + N_{x\theta} \gamma_{x\theta,0} + M_x \kappa_x + M_\theta \kappa_\theta + M_{x\theta} \kappa_{x\theta}] R d\theta dx \quad (۱۹)$$

$$T_s = \frac{1}{2} \rho_s h \int_0^{2\pi} \int_0^L (u^2 + v^2 + w^2) dx R d\theta \quad (۲۰)$$

$$W_s = \int_0^{2\pi} \int_0^L (q_x u + q_\theta v + q_z w) dx R d\theta \quad (۲۱)$$

نقطه بالای علائم، مشتق نسبت به زمان را نشان می‌دهد. q_x , q_θ و

q_z به ترتیب نیروهای توزیع شده در واحد سطح در جهت محوری،

محیطی و شعاعی است. طبق اصل همیلتون داریم [۱۶]:

$$\int_{t_0}^{t_1} (\delta U_s - \delta T_s - \delta W_s) dt = 0 \quad (۲۲)$$

تغییرات انرژی کرنش الاستیک (δU_s) و انرژی جنبشی (δT_s)

پوسته و تغییرات کار انجام شده توسط نیروهای خارجی روی

پوسته (δW_s) از روابط زیر به دست می‌آید:

$$\int_{t_0}^{t_1} \delta U_s dt = \int_{t_0}^{t_1} \int_0^L \int_0^{2\pi} [N_x \delta \varepsilon_{x,0} + N_\theta \delta \varepsilon_{\theta,0} + N_{x\theta} \delta \gamma_{x\theta,0} + M_x \delta \kappa_x + M_\theta \delta \kappa_\theta + M_{x\theta} \delta \kappa_{x\theta}] R d\theta dx dt \quad (۲۳)$$

$$\int_{t_0}^{t_1} \delta T_s dt = -\rho_s h \int_{t_0}^{t_1} \int_0^L \int_0^{2\pi} (\ddot{u} \delta u + \ddot{v} \delta v + \ddot{w} \delta w) R dx d\theta dt \quad (۲۴)$$

$$\int_{t_0}^{t_1} \delta W_s dt = R \int_{t_0}^{t_1} \int_0^L \int_0^{2\pi} (q_x \delta u + q_\theta \delta v + q_z \delta w) dx d\theta dt \quad (۲۵)$$

با وارد کردن روابط (۲۳) تا (۲۵) در رابطه (۲۲)، معادله غیرخطی

حاکم بر پوسته بر پایه کرنش‌های ون کارمن استخراج می‌شود:

$$\begin{aligned} & \int_{t_0}^{t_1} \int_0^L \int_0^{2\pi} \left[\left\{ N_x \left(R \frac{\partial(\delta u)}{\partial x} + R \frac{\partial w}{\partial x} \frac{\partial(\delta w)}{\partial x} \right) + M_x \left(-R \frac{\partial^2(\delta w)}{\partial x^2} \right) \right. \right. \\ & + N_\theta \left(\frac{\partial(\delta v)}{\partial \theta} + \delta v + \frac{1}{R} \frac{\partial w}{\partial \theta} \frac{\partial(\delta w)}{\partial \theta} \right) + M_\theta \left(-\frac{\partial^2(\delta w)}{R \partial \theta^2} \right) \\ & + N_{x\theta} \left(\frac{\partial(\delta u)}{\partial \theta} + R \frac{\partial(\delta v)}{\partial x} + \frac{\partial w}{\partial x} \frac{\partial(\delta w)}{\partial \theta} + \frac{\partial(\delta w)}{\partial x} \frac{\partial w}{\partial \theta} \right) \\ & \left. \left. + M_{x\theta} \left(-2 \frac{\partial^2(\delta w)}{\partial x \partial \theta} \right) \right\} + \rho_s h R \left(\frac{\partial^2 u}{\partial t^2} \delta u + \frac{\partial^2 v}{\partial t^2} \delta v + \frac{\partial^2 w}{\partial t^2} \delta w \right) \right] \\ & - R (q_x \delta u + q_\theta \delta v + q_z \delta w) \right] d\theta dx dt = 0 \end{aligned} \quad (۲۶)$$

که با جایگذاری بسط مodal پاسخ (۱۸) در رابطه (۲۶)، به همراه

استفاده از روش گالرکین، معادلات غیرخطی حاکم بر مختصات

تعیین یافته هر یک از مودهای، به فرم زیر به دست می‌آید:

برای m ‌های زوج و:

$$k = \frac{\sin(\mu L / 2R)}{\sinh(\mu L / 2R)} \quad (۱۴)$$

که در آن، μ ‌ها از حل دو معادله زیر به دست می‌آید:

$$\tan(\mu L / 2R) \pm \tanh(\mu L / 2R) = 0 \quad (۱۵)$$

با استفاده از روش گالرکین، چنانچه $\bar{u}(x, \theta)$, $\bar{v}(x, \theta)$ و $\bar{w}(x, \theta)$ به ترتیب در معادلات (۷) ضرب شود، با انتگرال‌گیری روی

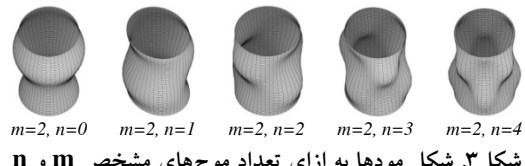
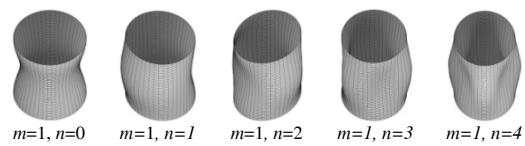
مرزهای استوانه، معادلات زیر را در فرم ماتریسی نتیجه می‌دهد:

$$\begin{bmatrix} \rho h \omega^2 + k_{11} & k_{12} & k_{13} \\ k_{21} & \rho h \omega^2 + k_{22} & k_{23} \\ k_{31} & k_{32} & -\rho h \omega^2 + k_{33} \end{bmatrix} \begin{bmatrix} U \\ V \\ W \end{bmatrix} = 0 \quad (۱۶)$$

که در آن k_{rs} از رابطه زیر تعیین می‌شود:

$$k_{rs} = \frac{\int_0^{2\pi} \int_0^L L_{rs} \{f_{s1}\} f_{r1} dx d\theta}{\int_0^{2\pi} \int_0^L f_{r1}^2 dx d\theta} \quad (۱۷)$$

در معادله (۱۶) برای داشتن جواب، دترمینان ماتریس باید صفر شود. با حل این معادله، برای هر ترکیبی از n و m سه فرکانس طبیعی به دست خواهد آمد که پایین‌ترین آن‌ها مربوط به مودی است که در آن مولفه عرضی جابه‌جاوی غالب است. تعدادی از شکل مودهای در حالی که جابه‌جاوی شعاعی غالب است در شکل ۳ نشان داده شده است. بنابراین فرکانس طبیعی ω سامانه به دست می‌آید. با تعیین فرکانس طبیعی و جایگذاری آن در معادله (۱۶)، می‌توان بردارهای ویژه U , V و W را تعیین کرد.



شکل ۳. مودهای به ازای تعداد موج‌های مشخص n و m

به این ترتیب، میدان جابه‌جاوی در جهت محوری (x ، محیطی) و شعاعی (z) به شرح زیر قابل توصیف است:

$$\begin{aligned} u(x, \theta, t) &= \sum_{r=1}^N \xi_r(t) \bar{u}_r(x, \theta) \\ v(x, \theta, t) &= \sum_{r=1}^N \xi_r(t) \bar{v}_r(x, \theta) \\ w(x, \theta, t) &= \sum_{r=1}^N \xi_r(t) \bar{w}_r(x, \theta) \end{aligned} \quad (۱۸)$$

که در آن، $(\bar{u}_r, \bar{v}_r, \bar{w}_r)$ مختصات تعیین یافته مودهای، تنها مجھولات

پوسته با دو نوع جنس ماده مرکب تقویت شده با الیاف از نوع گرافیت/اپوکسی و فلز همسان‌گرد همگن آلومینیوم مورد تحلیل قرار گرفته که خواص مکانیکی آن‌ها در جدول ۲ داده شده است.

جدول ۲. ویژگی‌های مواد تک لایه

ویژگی	آلومینیوم	گرافیت/اپوکسی	گرافیت/اپوکسی
چگالی (ρ)	kg/m ³	۱.۶	۲.۷
مدول الاستیسیته (E_1)	GPa	۱۳۸	۷۲.۴
مدول الاستیسیته (E_2)	GPa	۹	۷۲.۴
مدول برشی (G_{12})	GPa	۶	۷۷.۸۵
ضریب پواسون (ν)		۰.۳	۰.۳

در این مقاله چهار نوع چیدمان در پوسته لایه‌ای گرافیت/اپوکسی فرض شده که دو تای آن‌ها با لایه‌چینی متعامد شامل [۰/۰/۹۰/۰] و [۰/۰/۹۰/۰/۹۰] و دوتای دیگر با چیدمان [۰/۰/۰/۰] است. چیدمان لایه‌ها برای کلیه شکل‌ها غیر از [۹۰/۹۰/۹۰/۹۰] است. چیدمان لایه‌ها برای کلیه شکل‌ها غیر از مواردی که در شکل ذکر شده، [۰/۰/۹۰/۰] است. برای اطمینان از درستی نتایج به دست آمده در تحلیل حاضر، فرکانس‌های طبیعی به دست آمده از روش تحلیلی با نتایج روش اجزای محدود برای ۱۵ طولی و نوع المان مورد استفاده (SHELL93) انجام گرفته است.

نتایج مقایسه تطابق خوبی را نشان می‌دهد.

همچنین با استفاده از روش حل ارائه شده در این تحقیق، فرکانس طبیعی اصلی ($m=1, n=6$) برای پوسته استوانهای با مشخصات $h=519\text{mm}$, $R=149.4\text{mm}$, $l=520\text{mm}$, $E=1.98\times 10^{11}\text{Pa}$, $\rho=7800\text{kg/m}^3$, $\nu=0.3$ در مرجع [۷] محاسبه شده و با نتایج موجود در این مرجع مقایسه و در جدول ۴ نشان داده شده است.

$$\int_{t_0}^{t_1} \left\{ \sum_{k=1}^N d_{r,k} \ddot{\xi}_k(t) + \sum_{k=1}^N c_{r,k} \xi_k(t) \right. \\ \left. + \sum_{i=1}^N \sum_{j=1}^N \sum_{k=1}^N a_{r,ijk} \xi_i(t) \xi_j(t) \xi_k(t) \right. \\ \left. + \sum_{j=1}^N \sum_{k=1}^N b_{r,jk} \xi_j(t) \xi_k(t) - F_r \right\} dt = 0 \quad (27)$$

آنگرال گیری به دست می‌آیند و نتایج در پیوست (ب) آورده شده است. r شماره معادله و مود ارتعاشی و F_r کار تعیین یافته نیروی خارجی است. در این تحقیق، فرض بر وارد شدن تک نیروی شعاعی هارمونیک است، بنابراین نیروی وارد شده در جهت محوری و محیطی صفر در نظر گرفته شده است.

$$F_r = \int_0^{2\pi} \int_0^L q_z \bar{w}_r(x, \theta) dx R d\theta \quad (28)$$

تک نیروی توزیع شده عرضی خارجی (q_z) اعمال شده به پوسته

در اثر اعمال نیروی متتمرکز شعاعی \tilde{f} حاصل می‌شود:

$$q_z = \tilde{f} \delta(x - x_0) \delta(R\theta - R\theta_0) \cos(\omega t) \quad (29)$$

که δ تابع دلتای دیراک، \tilde{f} دامنه نیروی شعاعی و x_0 و θ_0 به ترتیب نشان‌دهنده موقعیت محوری و زاویه‌ای نقطه اعمال نیرو و ω فرکانس تحریک است. در حل عددی، محل اعمال نیرو در نقطه $x_0 = L/2$ و $\theta_0 = 0$ درنظر گرفته شده است. بنابراین

به صورت زیر خواهد شد:

$$F_r = \tilde{f} \cos(\omega t) \bar{w}_r(L/2, 0) \quad (30)$$

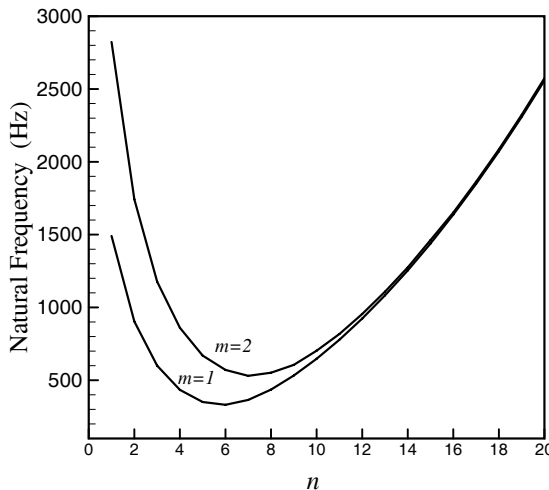
رابطه (۲۷)، دستگاه معادلات توصیف کننده ارتعاشات غیرخطی پوسته استوانه‌ای دایروی دوسر در گیر ساخته شده از مواد مرکب لایه‌ای با لایه‌چینی متعامد را تشکیل می‌دهد.

نتایج و بحث

هنده سه پوسته مینا که محاسبات بر پایه آن انجام شده است در جدول ۱ داده شده است.

جدول ۱- مشخصات هندسی پوسته مینا بر حسب mm

شاعع (R)
۱۰
۰.۱۲۵
۵



شکل ۴. تغییرات فرکانس طبیعی نسبت به تعداد موج‌های محیطی (n)

در اشکال ۵ و ۶ تأثیر هندسه پوسته روی فرکانس‌های طبیعی، برای چهار نوع چیدمان در لایه‌ها، نمایش داده شده است. با افزایش طول استوانه، فرکانس طبیعی کاهش می‌یابد. در شکل ۶ اثر ضخامت بر فرکانس طبیعی نشان داده شده است. با افزایش ضخامت، فرکانس طبیعی پوسته افزایش می‌یابد. شکل ۷ اثر چیدمان لایه‌ها بر فرکانس طبیعی را نشان می‌دهد. دو روند مهم به‌طور واضح قابل مشاهده است. اول این که نسبت تعداد لایه با الیاف جانبی (لایه‌های ۹۰ درجه) به تعداد لایه‌ها با الیاف‌های طولی (لایه‌های صفر درجه) اثر بیشتری روی فرکانس‌های طبیعی دارد. دوم این که تعداد بیشتر لایه‌ها با الیاف جانبی (لایه‌های ۹۰ درجه) فرکانس طبیعی بالاتری را در پی خواهد داشت.

همچنین در این تحقیق، پاسخ ارتعاشی پوسته مبنای برای ۶ مود اول بررسی شده است. مشخصات شش مود اول پوسته در جدول ۵ آورده شده است. با استفاده از نرم‌افزار Maple، فرکانس‌های طبیعی، دامنه شکل مودها و ضرایب $c_{r,k}$, $a_{r,ijk}$, $b_{r,jk}$ و $d_{r,k}$ تعیین شده‌اند. این ضرایب در کد نوشته شده در محیط برنامه‌نویسی نرم‌افزار Matlab، فراخوانده شده و با تشکیل دستگاه معادله (۲۷)، به روش رانگ-کوتا مرتبه چهارم حل شده است.

جدول ۳. مقایسه فرکانس‌های طبیعی روش ارائه شده نسبت به روش اجزای محدود برای پوسته آلومینیومی

مود شماره مود	فرکانس طبیعی (Hz)				
	m	n	اختلاف (%)	کار حاضر	اجزا محدود
۱	۱	۵	۳۹۹.۸۵	۴۱۱.۸	۲.۹
۲	۱	۴	۴۳۴.۴۳	۴۴۶.۹۸	۲.۸
۳	۱	۶	۴۷۵.۸۴	۴۸۸.۱۵	۲.۵۲
۴	۱	۷	۶۱۴.۹۲	۶۲۷.۴۰	۱.۹۸
۵	۱	۳	۶۳۲.۵۵	۶۵۲.۷۵	۳.۰۹
۶	۲	۶	۶۶۸.۱۹	۶۹۰.۸۶	۳.۲۸
۷	۲	۷	۷۱۹.۲۱	۷۴۰.۷۰	۲.۹۰
۸	۲	۵	۷۴۱.۱۵	۷۵۹.۷۴	۲.۴۴
۹	۱	۸	۷۹۲.۸۶	۸۰۶.۱۷	۱.۶۵
۱۰	۲	۸	۸۵۳.۱۵	۸۷۰.۳۶	۱.۹۷
۱۱	۳	۷	۹۴۳.۳۵	۹۶۵.۳۴	۲.۲۷
۱۲	۲	۴	۹۷۸.۰۷	۱۰۰۸.۳۰	۲.۹۹
۱۳	۳	۸	۹۹۲.۷۰	۱۰۱۵.۱۶	۲.۲۱
۱۴	۱	۹	۱۰۰۰.۹۰	۱۰۱۸.۰۶	۱.۹۸
۱۵	۳	۶	۱۰۱۶.۴۰	۱۰۴۲.۶۰	۲.۵۱

جدول ۴. مقایسه فرکانس طبیعی پوسته با نتایج موجود در مرجع [۷].

Frequency (Hz)	Model
۳۱۵.۱	Rayleigh–Ritz code DIVA
۳۴۰.۳	Model ¹ (Donnell's nonlinear shallow-shell theory)
۳۲۶.۷	Model ² (variational approach)
۳۲۵.۲	Present Work

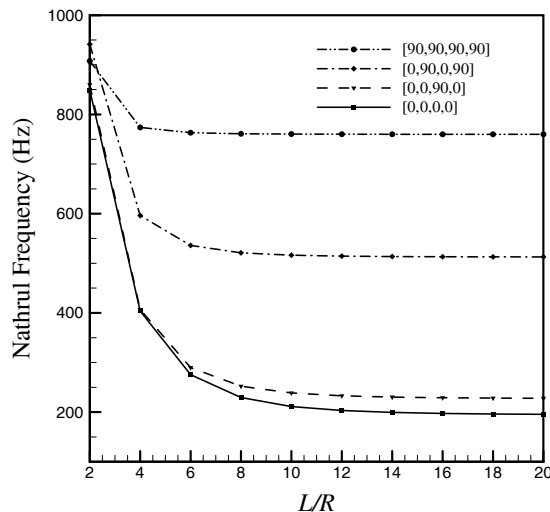
با توجه به شکل ۴، با افزایش تعداد موج‌های محیطی، فرکانس‌های طبیعی ابتدا کاهش و سپس افزایش می‌یابد. فرکانس طبیعی اول برای پوسته مبنای گرافیت/اپوکسی در $m = 1$ و $n = 6$ اتفاق می‌افتد.

جدول ۵. مشخصات شش مود اول پوسته مبنا

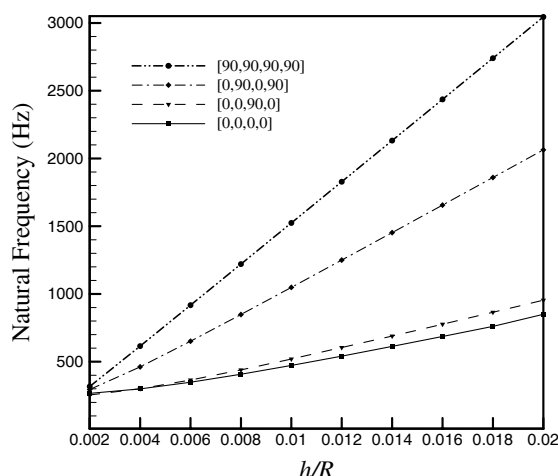
شکل مود	شماره مود	n	m	فرکانس طبیعی (Hz)
	۱	۶	۱	۳۳۱.۲۷۳
	۲	۶	۱	۳۳۱.۲۷۳
	۳	۵	۱	۳۵۰.۳۰۳
	۴	۵	۱	۳۵۰.۳۰۳
	۵	۷	۱	۳۶۴.۸۸۲
	۶	۷	۱	۳۶۴.۸۸۲

معادله (۲۷) با چشم پوشی از عبارت های غیر خطی، به یک دستگاه معادله خطی ساده می شود. با حل این دستگاه خطی و مقایسه نتایج آن با حل دستگاه معادله غیر خطی اصلی (۲۷)، می توان تأثیر عبارت های غیر خطی در پاسخ ارتعاشی یک پوسته استوانه ای دایروی را مشاهده کرد. به طور مثال اگر پوسته استوانه ای مبنا، با فرکانس طبیعی اول سامانه یعنی $\omega_1 = 331.273$ تحریک شود، بدیهی است در حالتی که از عبارت های غیر خطی صرف نظر شده و دستگاه معادله خطی است، دامنه ارتعاشی سامانه با گذشت زمان افزایش یافته و دچار بسامد افزایی می شود. در حالی که از حل دستگاه معادله غیر خطی اصلی، در سامانه بسامد افزایی رخ نداده و دامنه ارتعاشات محدود به دست می آید و این به علت وجود عبارت های غیر خطی است که باعث محدود شدن دامنه ارتعاشات می شود. بنابراین اثرات غیر خطی باعث محدود شدن دامنه ارتعاشات حتی در شرایط تحریک با فرکانس طبیعی می شود.

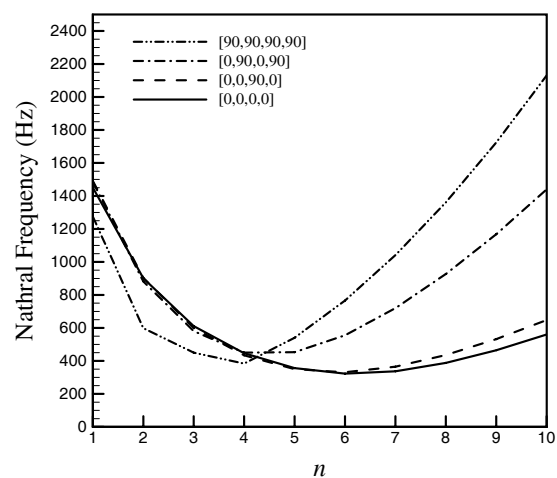
شکل ۸ پاسخ ارتعاشی شعاعی در حالتی که سامانه با فرکانس طبیعی اول تحریک شود در دو حالت خطی و غیر خطی را نشان می دهد. با توجه به شکل ۸ رفتار ارتعاشی در دو حالت خطی و غیر خطی در ابتدای نوسان مشابه است ولی با گذشت زمان بسیار کوتاه، عبارت های غیر خطی اثر خود را نشان داده و از بزرگ تر شدن دامنه ارتعاش جلوگیری می کند این در حالی است که حل خطی، واگرا شدن دامنه ارتعاش را در فاصله زمانی کوتاه نشان می دهد. این رفتار در اشکال ۹ تا ۱۳ نیز مشاهده می شود. در شکل ۱۱ نمودار فازی حاصل از حل دستگاه خطی که در فرکانس طبیعی اول تحریک شده، ترسیم شده است. مشاهده می شود که در حالت



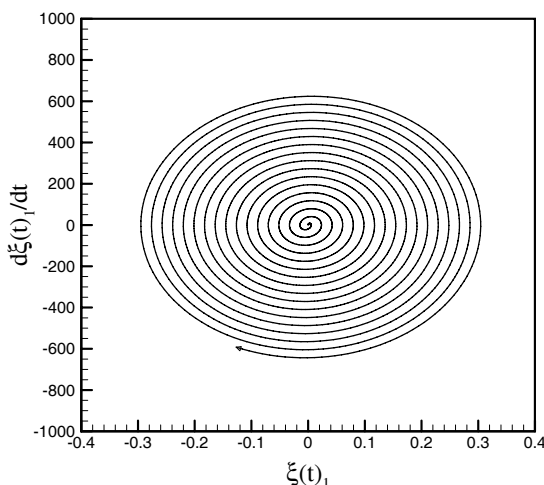
شکل ۵. اثر L/R بر فرکانس طبیعی برای انواع مختلف لایه چینی



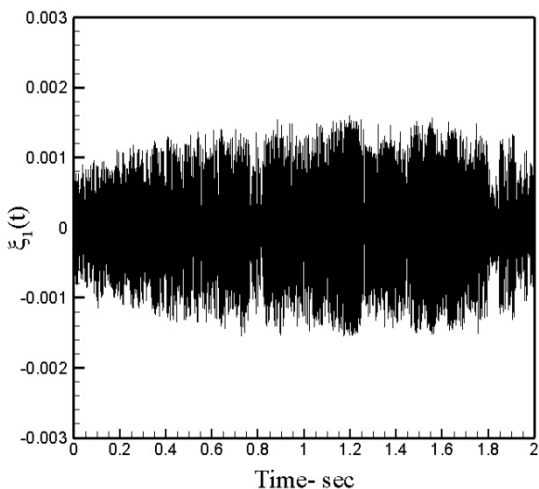
شکل ۶. اثر h/R بر فرکانس طبیعی برای انواع مختلف لایه چینی



شکل ۷. اثر نوع لایه چینی بر فرکانس های طبیعی پوسته مبنا

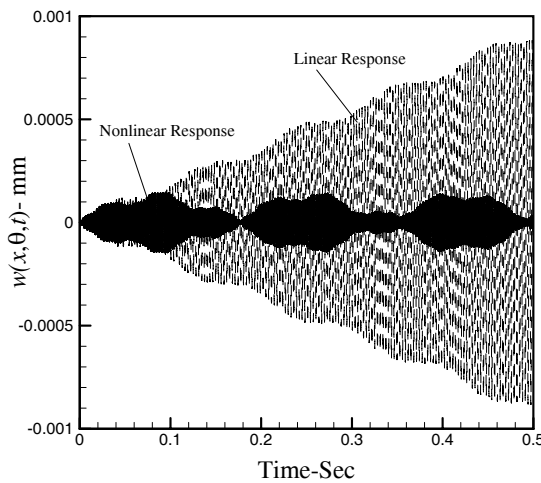


شکل ۱۱. نمودار فازی حل خطی تحریک در فرکانس طبیعی اول

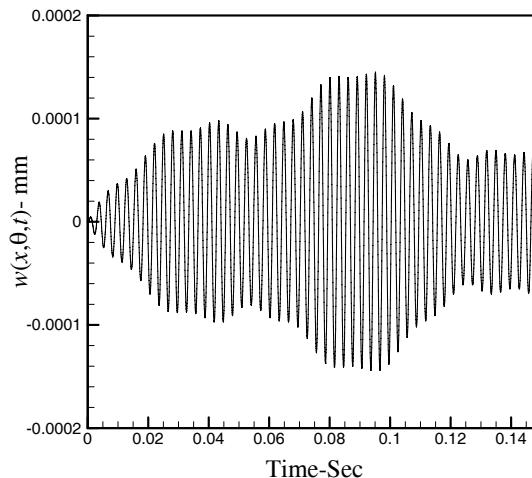


شکل ۱۲. پاسخ زمانی حل غیرخطی تحریک در فرکانس طبیعی اول

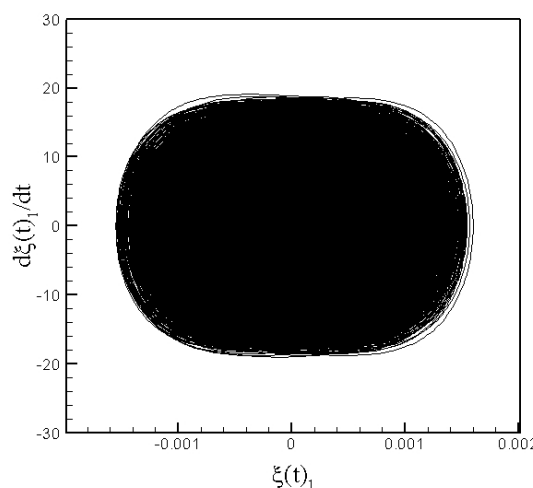
خطی، سامانه دارای سیکل حدی (Limit Cycle) نیست. سیکل حدی حاصل از حل معادلات غیرخطی در شکل ۱۳ نشان داده شده است.



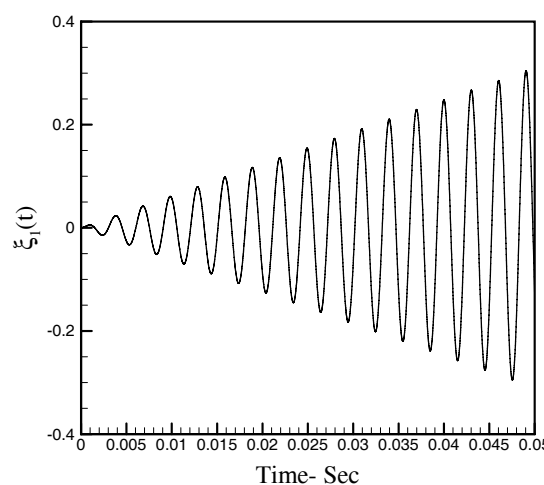
شکل ۸. مقایسه پاسخ ارتعاشی شعاعی خطی با غیرخطی ($\omega = \omega_1$)



شکل ۹. پاسخ ارتعاشی شعاعی غیرخطی ($\omega = \omega_1$)



شکل ۱۳. نمودار فازی حل غیرخطی تحریک در فرکانس طبیعی اول



شکل ۱۰. پاسخ زمانی حل خطی تحریک در فرکانس طبیعی اول

نتیجه گیری

- Hydroelastic Vibration of a Clamped Cylindrical Tank Partially Filled with Liquid. *Journal of Pressure Vessel Technology*, v. 115, 1993, pp. 381–388.
5. Abe A., Kobayashi Y., and Yamada G., Non-linear Vibration Characteristics of Clamped Laminated Shallow Shell. *Journal of Sound and vibration*, v. 234, n. 3, 2000, pp. 405-426.
 6. Amabili M., Nonlinear Vibrations of Circular Cylindrical Shells with Different Boundary Conditions. *AIAA Journal*, v. 41, n. 6, June 2003.
 7. Karagiozisa K.N., Amabili M., Padoussisa M.P., and Misra A.K., Nonlinear vibrations of fluid-filled clamped circular cylindrical shells. *Journal of Fluids and Structures*, v. 21, 2005, pp. 579–595.
 8. Pellicano F., Linear and Nonlinear Vibrations of Shells. *2nd International Conference on Nonlinear Normal Modes and Localization in Vibrating Systems*, Samos, June 19-23 2006.
 9. Shao Z.S., and Ma G.W., Series Expansion Method Free Vibration Analysis of Laminated Cylindrical Shells by Using Fourier. *Journal of Thermoplastic Composite Materials*, v. 20, n. 551, 2007.
 10. Qatu M. S., *Vibration of Laminated Shells and Plates*. Elsevier Academic Press, Oxford, 2004.
 11. Amabili M., *Nonlinear Vibrations and Stability of Shells and Plates*. Cambridge University Press, Italy, 2008.
 12. Brush D. O., and Almroth B. O., *Buckling of Bars, Plates, and Shells*. McGraw-Hill, Scarborough, CA, 1975.
 13. Hyer M. W., *Stress Analysis of Fiber-Reinforced Composite Materials*. McGraw-Hill, New York, 1998.
 14. Soedel W., *Vibrations of Shells and Plates*. Second Edition, Marcel Dekker, New York, 1993.
 15. Hirano Y., *Nonlinear Vibrations of Composite Material Shells*. Ph.D. thesis, University of Delaware, 1988
 16. Rao S., *Vibration of Continuous Systems*. John Wiley &

مراجع

1. Matsuzaki Y., and Kobayashi S., A Theoretical and Experimental Study of the Nonlinear Flexural Vibration of Thin Circular Cylindrical Shells with Clamped Ends. *Transactions of the Japan Society for Aeronautical and Space Sciences*, v. 12, 1969, pp. 55–62.
2. Chia C. Y., Non-Linear Free Vibration and Post buckling of Symmetrically Laminated Orthotropic Imperfect Shallow Cylindrical Panels with Two Adjacent Edges Simply Supported and the Other Edges Clamped. *International Journal of Solids and Structures*, v. 23, 1987, pp. 1123–1132.
3. Iu V. P., and Chia C. Y., Non-Linear Vibration and Post buckling of Unsymmetric Cross-Ply Circular Cylindrical Shells. *International Journal of Solid Structures*, v. 24, 1988, pp. 195–210.
4. Chiba M., Experimental Studies on a Nonlinear

پیوست الف)

مقادیر L_{ij} معادلات خطی شده دونل:

$$\begin{aligned} L_{11}(\) &= A_{11}(\),_{xx} + \frac{A_{66}}{R^2}(\),_{\theta\theta} & L_{12}(\) &= \frac{A_{12} + A_{66}}{R}(\),_{x\theta} \\ L_{13}(\) &= -B_{11}(\),_{xxx} - \frac{D_{12} + 2D_{66}}{R^2}(\),_{x\theta\theta} + \frac{A_{12}}{R}(\),_x & L_{22}(\) &= A_{66}(\),_{xx} + \frac{A_{22}}{R^2}(\),_{\theta\theta} \\ L_{23}(\) &= -\frac{B_{12} + 2B_{66}}{R^2}(\),_{xx\theta} + \frac{A_{22}}{R^2}(\),_\theta - \frac{B_{22}}{R^3}(\),_{\theta\theta\theta} & & \\ L_{33}(\) &= \frac{2B_{12}}{R}(\),_{xx} + D_{11}(\),_{xxxx} + \frac{2(D_{12} + 2D_{66})}{R^2}(\),_{x\theta\theta} + \frac{2B_{22}}{R^3}(\),_{\theta\theta} + \frac{D_{22}}{R^4}(\),_{\theta\theta\theta\theta} + \frac{A_{22}}{R^2}(\) & & \end{aligned}$$

پیوست ب)

ضرایب دستگاه معادلات حاکم بر ارتعاشات غیرخطی پوسته استوانه‌ای دایروی:

$$\begin{aligned} a_{r,ijk} &= \int_0^L \int_0^{2\pi} \left[\left(\frac{RA_{11}}{2} \bar{w}_{r,x} \right) \bar{w}_{i,x}(x, \theta) \bar{w}_{j,x}(x, \theta) \bar{w}_{k,x}(x, \theta) + \left(\frac{A_{22}}{2R^3} \bar{w}_{r,\theta} \right) \bar{w}_{i,\theta}(x, \theta) \bar{w}_{j,\theta}(x, \theta) \bar{w}_{k,\theta}(x, \theta) \right. \\ &\quad \left. + \left(\frac{A_{12}}{2R} \bar{w}_{r,x} + \frac{A_{66}}{R} \bar{w}_{r,x} \right) \bar{w}_{i,x}(x, \theta) \bar{w}_{j,\theta}(x, \theta) \bar{w}_{k,\theta}(x, \theta) + \left(\frac{A_{12}}{2R} \bar{w}_{r,\theta} + \frac{A_{66}}{R} \bar{w}_{r,\theta} \right) \bar{w}_{i,x}(x, \theta) \bar{w}_{j,x}(x, \theta) \bar{w}_{k,\theta}(x, \theta) \right] d\theta dx \end{aligned}$$

$$\begin{aligned} b_{r,jk} &= \int_0^L \int_0^{2\pi} \left[\left(\frac{A_{12}}{2} \bar{w}_r + \frac{RA_{11}}{2} \bar{u}_{r,x} - \frac{RB_{11}}{2} \bar{w}_{r,xx} - \frac{B_{12}}{2R} \bar{w}_{r,\theta\theta} + \frac{A_{12}}{2} \bar{v}_{r,\theta} \right) \bar{w}_{j,x}(x, \theta) \bar{w}_{k,x}(x, \theta) \right. \\ &\quad \left. + \left(\frac{A_{12}}{2R} \bar{u}_{r,x} - \frac{B_{12}}{2R} \bar{w}_{r,xx} + \frac{A_{22}}{2R^2} \bar{v}_{r,\theta} + \frac{A_{22}}{2R^2} \bar{w}_r - \frac{B_{22}}{2R^3} \bar{w}_{r,\theta\theta} \right) \bar{w}_{j,\theta}(x, \theta) \bar{w}_{k,\theta}(x, \theta) \right. \\ &\quad \left. + \left(\frac{A_{22}}{R^2} \bar{w}_{r,\theta} \right) \bar{v}_{j,\theta}(x, \theta) \bar{w}_{k,\theta}(x, \theta) + \left(\frac{A_{66}}{R} \bar{w}_{r,x} \right) \bar{u}_{j,\theta}(x, \theta) \bar{w}_{k,\theta}(x, \theta) + \left(RA_{11} \bar{w}_{r,x} \right) \bar{u}_{j,x}(x, \theta) \bar{w}_{k,x}(x, \theta) \right. \\ &\quad \left. + \left(A_{66} \bar{w}_{r,\theta} \right) \bar{v}_{j,x}(x, \theta) \bar{w}_{k,x}(x, \theta) + \left(A_{66} \bar{w}_{r,x} \right) \bar{v}_{j,x}(x, \theta) \bar{w}_{k,\theta}(x, \theta) + \left(\frac{A_{12}}{R} \bar{w}_{r,\theta} \right) \bar{u}_{j,x}(x, \theta) \bar{w}_{k,\theta}(x, \theta) \right. \\ &\quad \left. + \left(A_{66} \bar{v}_{r,x} - \frac{2B_{66}}{R} \bar{w}_{r,x\theta} + \frac{A_{66}}{R} \bar{u}_{r,\theta} \right) \bar{w}_{j,x}(x, \theta) \bar{w}_{k,\theta}(x, \theta) + \left(A_{12} \bar{w}_{r,x} \right) \bar{w}_j(x, \theta) \bar{w}_{k,x}(x, \theta) \right. \\ &\quad \left. + \left(\frac{A_{66}}{R} \bar{w}_{r,\theta} \right) \bar{u}_{j,\theta}(x, \theta) \bar{w}_{k,x}(x, \theta) + \left(\frac{A_{22}}{R^2} \bar{w}_{r,\theta} \right) \bar{w}_j(x, \theta) \bar{w}_{k,\theta}(x, \theta) + \left(A_{12} \bar{w}_{r,x} \right) \bar{v}_{j,\theta}(x, \theta) \bar{w}_{k,x}(x, \theta) \right. \\ &\quad \left. - \left(\frac{B_{12}}{R} \bar{w}_{r,\theta} \right) \bar{w}_{j,xx}(x, \theta) \bar{w}_{k,\theta}(x, \theta) - \left(\frac{B_{22}}{R^3} \bar{w}_{r,\theta} \right) \bar{w}_{j,\theta\theta}(x, \theta) \bar{w}_{k,\theta}(x, \theta) - \left(RB_{11} \bar{w}_{r,x} \right) \bar{w}_{j,xx}(x, \theta) \bar{w}_{k,x}(x, \theta) \right. \\ &\quad \left. - \left(\frac{2B_{66}}{R} \bar{w}_{r,x} \right) \bar{w}_{j,x\theta}(x, \theta) \bar{w}_{k,\theta}(x, \theta) - \left(\frac{2B_{66}}{R} \bar{w}_{r,\theta} \right) \bar{w}_{j,x\theta}(x, \theta) \bar{w}_{k,x}(x, \theta) - \left(\frac{B_{12}}{R} \bar{w}_{r,x} \right) \bar{w}_{j,\theta\theta}(x, \theta) \bar{w}_{k,x}(x, \theta) \right] d\theta dx \end{aligned}$$

$$\begin{aligned} c_{r,k} &= \int_0^L \int_0^{2\pi} \left[\left(A_{12} \bar{u}_{r,x} - B_{12} \bar{w}_{r,xx} + \frac{A_{22}}{R} \bar{v}_{r,\theta} + \frac{A_{22}}{R} \bar{w}_r - \frac{B_{22}}{R^2} \bar{w}_{r,\theta\theta} \right) \bar{w}_k(x, \theta) \right. \\ &\quad \left. + \left(A_{12} \bar{v}_{r,\theta} + A_{12} \bar{w}_r + RA_{11} \bar{u}_{r,x} - RB_{11} \bar{w}_{r,xx} - \frac{B_{12}}{R} \bar{w}_{r,\theta\theta} \right) \bar{u}_{k,x}(x, \theta) \right. \\ &\quad \left. + \left(-2B_{66} \bar{w}_{r,x\theta} + A_{66} \bar{u}_{r,\theta} + RA_{66} \bar{v}_{r,x} \right) \bar{v}_{k,x}(x, \theta) + \left(A_{12} \bar{u}_{r,x} - B_{12} \bar{w}_{r,xx} + \frac{A_{22}}{R} \bar{v}_{r,\theta} + \frac{A_{22}}{R} \bar{w}_r - \frac{B_{22}}{R^2} \bar{w}_{r,\theta\theta} \right) \bar{v}_{k,\theta}(x, \theta) \right. \\ &\quad \left. + \left(A_{66} \bar{v}_{r,x} + \frac{A_{66}}{R} \bar{u}_{r,\theta} - \frac{2B_{66}}{R} \bar{w}_{r,x\theta} \right) \bar{u}_{k,\theta}(x, \theta) + \left(\frac{D_{12}}{R} \bar{w}_{r,\theta\theta} - RB_{11} \bar{u}_{r,x} + RD_{11} \bar{w}_{r,xx} - B_{12} \bar{v}_{r,\theta} - B_{12} \bar{w}_r \right) \bar{w}_{k,xx}(x, \theta) \right. \\ &\quad \left. + \left(-\frac{B_{12}}{R} \bar{u}_{r,x} + \frac{D_{12}}{R} \bar{w}_{r,xx} - \frac{B_{22}}{R^2} \bar{v}_{r,\theta} - \frac{B_{22}}{R^2} \bar{w}_r + \frac{D_{22}}{R^3} \bar{w}_{r,\theta\theta} \right) \bar{w}_{k,\theta\theta}(x, \theta) + \left(-2B_{66} \bar{v}_{r,x} - \frac{2B_{66}}{R} \bar{u}_{r,\theta} + \frac{4D_{66}}{R} \bar{w}_{r,x\theta} \right) \bar{w}_{k,x\theta}(x, \theta) \right] d\theta dx \end{aligned}$$

$$\begin{aligned} d_{r,k} &= \int_0^L \int_0^{2\pi} \rho_s h R [\bar{u}_r(x, \theta) \bar{u}_k(x, \theta) + \bar{v}_r(x, \theta) \bar{v}_k(x, \theta) + \bar{w}_r(x, \theta) \bar{w}_k(x, \theta)] d\theta dx \\ F_r &= \int_0^L \int_0^{2\pi} R [q_x \bar{u}_r(x, \theta) + q_\theta \bar{v}_r(x, \theta) + q_z \bar{w}_r(x, \theta)] d\theta dx \end{aligned}$$